

III-5 河床変動の一計算法

九州大学 工学部 正量 平野泉夫

まえがき

河床が砂や礫でできている河川においては、流水とともに河床の砂礫も移動する。そして、この移動砂礫は、その砂礫を輸送する能力のない場所にくさと堆積し、遂に輸送能力の大きい所では河床の砂礫は流失し洗堀される。ダムの築造による上流の Backward と下流の河床低下、 Short cut 部の河床変動などはその代表例である。このふうな河床変動の計算法としては、特性曲線による解法や、不等流計算と流砂量計算を交互に組合せる方法などが試みられており。これらはいずれも時刻 t における河床高 z と流量 Q を用いて不等流計算を行ない、それらの水理量が t 時間中変わらないとして時刻 t + Δt における河床高を求めるというやり方である。この計算は非常に手間かかるので、普通電子計算機で行なわれるが、電算では流砂量の計算や河床高の計算にくらべて不等計算に要する時間がずっと多いため、計算時間の大半が不等流計算につかわれる。しかし、いずれにしろ計算は微分方程式と差分式において数値的に解くわけであるから、Δt 時間後の河床変動量 Δz は微小な値でなくてはならぬ。そこで、筆者は、河床が微小量変動するごとに不等流計算をやりなおす必要はないかと考え、河床変動量 Δz から水深や断面積の変動量を求めた近似式を導びき不等流計算の簡略化を試みた。また、実際河川は複断面形の場合が少なくないが、複断面河川の不等流式を導びき、河床変動計算式を示した。

1. 河床変動計算式

河床変動は通常次の 3 式を連立して解く。

$$1) \text{ 不等流の式 } \frac{\partial h}{\partial x} + \frac{\partial z}{\partial x} + \frac{\partial}{\partial x} \left(\frac{\alpha V^2}{2g} \right) + I_e = 0 \quad \dots \dots \dots \dots \dots \dots \dots \quad (1)$$

$$2) \text{ 河床の連続の式 } \frac{\partial z}{\partial t} + \frac{1}{(1-\lambda)B} \frac{\partial Q_B}{\partial x} = 0 \quad \dots \dots \dots \dots \dots \dots \dots \quad (2)$$

3) 流砂量の式 Einstein の式では多くの公式がある。

ここに、 z : 河床高、 B : 河床幅、 h : 水深、 α : エネルギーの補正係数、 V : 平均流速

I_e : エネルギー勾配、 λ : 河床砂の空隙率、 Q_B : 流砂量

式 (1) を時間 t で微分すること。

$$\frac{\partial^2 h}{\partial t \partial x} + \frac{\partial^2 z}{\partial t \partial x} + \frac{\partial^2}{\partial t \partial x} \left(\frac{\alpha V^2}{2g} \right) + \frac{\partial I_e}{\partial t} = 0 \quad \dots \dots \dots \dots \dots \dots \dots \quad (3)$$

上式を差分式にして。

$$\left(\frac{\partial h}{\partial t} \right)_i - \left(\frac{\partial h}{\partial t} \right)_{i-1} + \left(\frac{\partial z}{\partial t} \right)_i - \left(\frac{\partial z}{\partial t} \right)_{i-1} + \frac{\alpha}{2g} \left\{ \left(\frac{\partial V^2}{\partial t} \right)_i - \left(\frac{\partial V^2}{\partial t} \right)_{i-1} \right\} + \frac{\Delta x}{2} \left\{ \left(\frac{\partial I_e}{\partial t} \right)_i + \left(\frac{\partial I_e}{\partial t} \right)_{i-1} \right\} = 0 \quad \dots \dots \dots \dots \dots \dots \dots \quad (4)$$

ここに、添字 i は上流側断面、 $i-1$ は下流側断面の量を示す。

簡単のため断面は広矩形とし、エネルギー勾配は対数分布則を用いた次式

$$I_e = F_r^2 / \phi^2 \quad \dots \dots \dots \dots \dots \dots \dots \quad (5)$$

ここに、 F_r : フルート数、 $\Psi = T/u_*$ 、 $u_* = \sqrt{g R I_e}$ 、 R : 径深を用い、流れが定流であるとする。式(4)エリ

$$(\frac{\partial A}{\partial t})_i \left\{ \frac{1}{B_i} (1 - Fr_i^2) - \frac{3 \Delta x}{2 g^2} \frac{Fr_i^2}{A_i} \right\} + (\frac{\partial Z}{\partial t})_i = (\frac{\partial A}{\partial t})_{i-1} \left\{ \frac{1}{B_{i-1}} (1 - Fr_{i-1}^2) + \frac{3 \Delta x}{2 g^2} \frac{Fr_{i-1}^2}{A_{i-1}} \right\} + (\frac{\partial Z}{\partial t})_{i-1} \quad \dots \dots \dots \quad (6)$$

ここに、 A : 流積、 Δx : 区間距離

上式において、次の差分式

$$\begin{aligned} (\frac{\partial A}{\partial t})_i &= \frac{1}{\Delta t} (A_{i,j+1} - A_{i,j}) \\ (\frac{\partial Z}{\partial t})_i &= -\frac{1}{(1-\lambda) B_i} (\frac{\partial Q_B}{\partial x})_i = -\frac{1}{(1-\lambda) B_i \Delta x} (Q_{B,i,j} - Q_{B,i-1,j}) \end{aligned} \quad \left. \right\} \dots \dots \dots \quad (7)$$

ここに、添字 j は時刻 t における量、 $j+1$ は時刻 $t + \Delta t$ における量を示す。

を用いれば、時刻 t における諸量と $A_{i,j+1}$ より $A_{i,j}$ を求める

なお、式(6)は不等流の逐次計算式

$$h_i + Z_i - h_{i-1} - Z_{i-1} - \frac{\Delta Q^2}{2g} \left(\frac{1}{A_i^2} - \frac{1}{A_{i-1}^2} \right) + \frac{\Delta x}{2} (I_{e,i} + I_{e,i-1}) = 0 \quad \dots \dots \dots \quad (8)$$

において、 $(\partial A / \partial t) \Delta t = \Delta A$ 、 $(\partial Z / \partial t) \Delta t = \Delta Z$ 、 $(\partial I_e / \partial t) \Delta t = \Delta I_e$ 、 $(\partial h / \partial t) \Delta t = \Delta h$ と Δt 時間後の次式

$$\begin{aligned} (h + \Delta h)_i + (Z + \Delta Z)_i - (h + \Delta h)_{i-1} - (Z + \Delta Z)_{i-1} - \frac{\Delta Q^2}{2g} \left\{ \frac{1}{(A + \Delta A)_i^2} - \frac{1}{(A + \Delta A)_{i-1}^2} \right\} \\ + \frac{\Delta x}{2} \left\{ (I_{e,i} + \Delta I_{e,i}) + (I_{e,i-1} + \Delta I_{e,i-1}) \right\} = 0 \end{aligned} \quad \dots \dots \dots \quad (9)$$

より式(8)をさし引く。Taylor展開して2次以降の微小項を無視した次の関係式

$$\frac{1}{(A + \Delta A)^2} \approx \frac{1}{A^2} \left(1 - 2 \frac{\Delta A}{A} \right) \quad , \quad \frac{1}{(A + \Delta A)^3} \approx \frac{1}{A^3} \left(1 - 3 \frac{\Delta A}{A} \right) \quad \dots \dots \dots \quad (10)$$

を代入すれば得られる。精度を上げるために、Taylor展開の2次の項までとった次式

$$\frac{1}{(A + \Delta A)^2} \approx \frac{1}{A^2} \left\{ 1 - 2 \frac{\Delta A}{A} + 3 \left(\frac{\Delta A}{A} \right)^2 \right\} \quad , \quad \frac{1}{(A + \Delta A)^3} \approx \frac{1}{A^3} \left\{ 1 - 3 \frac{\Delta A}{A} + 6 \left(\frac{\Delta A}{A} \right)^2 \right\} \quad \dots \dots \dots \quad (11)$$

を用いれば、式(6)は

$$\begin{aligned} \left(\frac{\Delta A}{A} \right)_{i-1}^2 \left(3 Fr_{i-1}^2 \frac{\Delta x}{g^2} - \frac{3}{2} \frac{\Delta Q^2}{g A_{i-1}^2} \right) + \left(\frac{\Delta A}{A} \right)_{i-1} \left(\frac{\Delta Q^2}{g A_{i-1}^2} - \frac{3}{2} Fr_{i-1}^2 \frac{\Delta x}{g^2} - \frac{A_{i-1}}{B_{i-1}} \right) + \Delta Z_i - \Delta Z_{i-1} \\ + \left(\frac{\Delta A}{A} \right)_i^3 \left(3 Fr_i^2 + \frac{3}{2} \frac{\Delta Q^2}{g A_i^2} \right) + \left(\frac{\Delta A}{A} \right)_i \left(\frac{A_i}{B_i} - \frac{\Delta Q^2}{g A_i^2} - \frac{3}{2} Fr_i^2 \frac{\Delta x}{g^2} \right) = 0 \end{aligned} \quad \dots \dots \dots \quad (12)$$

上式は ΔA_{i-1} についての2次式であるから、他の量が既知であれば簡単に解ける。

2. 数値計算例

式(6)、(7)を用いて数値計算を行なう。計算条件次のとおりとする。

1) 断面は幅 200 m の矩形断面、定流 $Z = Q = 1000 \text{ m}^3/\text{s}$ 、 $\Psi = 15$ 。

2) 初期条件 河床勾配 $I = 1/2000$ 、 $Q = 1000 \text{ m}^3/\text{s}$ の等流状態。

3) 境界条件 下流端で水位一定、上流端で流砂量 Q_{B0} 一定、 Q_{B0} は $I = 1/3000$ の等流に対応する値を用いる。このようだ境界条件は下流が海に流入する放水路などに対応する。

$$4) \text{流砂量の式} \quad q_B = 20 \sqrt{sgd^3} \left\{ \left(\frac{U_{sc}^2}{sgd} \right)^2 - \left(\frac{U_{sc}^2}{sgd} \right)^2 \right\}, \quad S=1.65, \quad d=0.1 \text{ cm}, \quad U_{sc}^2 = 5.5 \text{ cm}^2/\text{s}^2,$$

$$5) \Delta x = 400 \text{ m}, \Delta t = 0.2 \text{ s}$$

以上による計算結果を図-1に示す。計算は九大中央計数施設 OKITAC-5090H

で行なった。所要時間は 7 断面 \times 260
time interval \approx 195 sec であつた。

はあ、 $\Delta t = 1$ 日とし計算も行なった
が、計算初期を除き $\Delta t = 0.2$ 日の場合と
殆んど差がない。従って、この計算
法を実用に供しうると考えられる。

3. 複断面河川への適用

3.1 複断面河川の不等流式

不等流の基礎式は次式で示される。

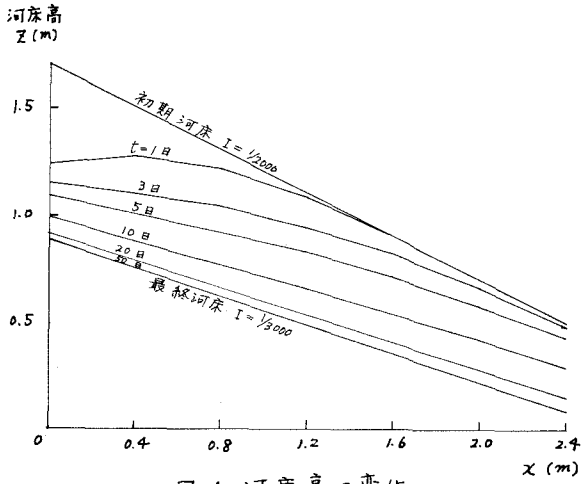


図-1 河床高の変化

ここに、 H :水位, α :エネルギーの補正係数で $\alpha = \int u^3 dA / \bar{u}^3 A$, u :流速
深さ方向の平均流速を \bar{u} , そのエネルギー補正係数を $\alpha_{\bar{u}}$ とすと.

平均流速公式として Manning 式を用い、流れが次元的であるとして、エネルギー勾配の恒水路と高水敷が共通であるとする。

$$I_e = \frac{Q^2}{(\frac{1}{\eta_L} A_L R_L^{-\frac{2}{3}} + \frac{1}{\eta_H} A_H R_H^{-\frac{2}{3}})^2} \quad (15)$$

また、 α_{ν} は 1.0～1.1 程度の値であり、通常一定としているので、 $c = 2^{\nu}$ も定数とすよ。

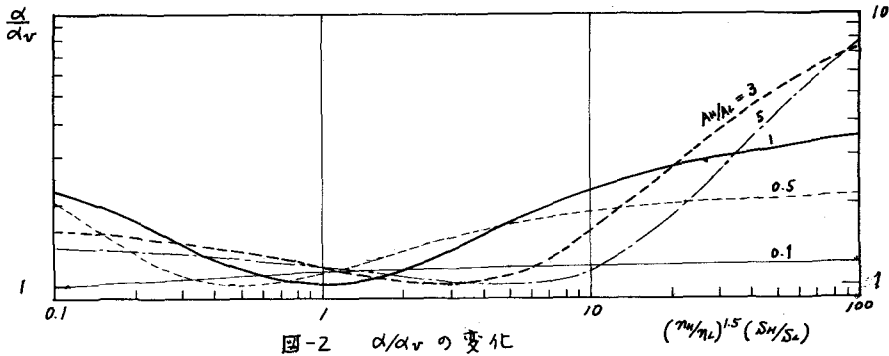
$$\alpha = \alpha_v A^2 \frac{\frac{1}{M_L} A_L R_L^2 + \frac{1}{M_H} A_H R_H^2}{\left(\frac{1}{M_L} A_L R_L^2 + \frac{1}{M_H} A_H R_H^2\right)^3} = \alpha_v \left(1 + \frac{A_H}{A_L}\right)^2 \frac{1 + \left(\frac{A_H}{A_L}\right)^3 \left(\frac{R_L}{R_H}\right)^3 \left(\frac{S_L}{S_H}\right)^2}{\left\{1 + \left(\frac{A_H}{A_L}\right)^2 \frac{R_L}{R_H} \left(\frac{S_L}{S_H}\right)^{\frac{2}{3}}\right\}^3} \quad (16)$$

ここで、添字Lは低水路、Hは高水敷の諸量を示す。R: 径深、n: 粗度係数、S: 溢迦式(15)か式(16)を(13)に代入すると複断面河川の不等流の式が次式のようになります。

$$\frac{d^{\text{II}}}{dx} + \frac{d}{dx} \left\{ \frac{c_{\text{H}} Q^2}{2g} \left(\frac{1}{\eta_L A_L R_L^2} + \frac{1}{\eta_R A_R R_R^2} \right) \right\} + \frac{Q^2}{\left(\frac{1}{\eta_L} A_L R_L^2 + \frac{1}{\eta_R} A_R R_R^2 \right)^2} = 0 \quad \dots \quad (17)$$

α に対する被断面形の影響をみるために、 $\alpha/\alpha_w \sim (\eta_{HL}/\eta_L)^{15} (S_h/S_L)$ の関係を A_H/A_L をパラメータとして取ることで図-2 のようになる。これより α はかなり大きな値にはならない場合のあることがあるが、 A_H/A_L が小さい場合や $(\eta_{HL}/\eta_L)^{15} (S_h/S_L)$ が 1 に近い場合は α は 1 に近く変化しない。従って、

高水敷の流積が低水路のそれに較べてかなり小さい場合で、高水敷と低水路の粗度係数が等しい下う場合には以下は従来と同様一定としても差支えないと思われる。



3.2 橫断面河川の河床変動式

高水敷は植生に覆われたり、土砂でできたりとも流速が小さく、土砂が移動しない場合が多い。
そこで、高水敷は固定で低水路床のみが移動する場合を考える。

図-3のようすを断面を考へ、式(17)に式(3)～(6)と同様の操作を施せば式(6)に対応する次式を得る。

$$\left\{ \frac{\partial h_L}{\partial t} (1+G_1) + \frac{\partial z_L}{\partial t} (1+W_1) \right\}_1 = \left\{ \frac{\partial h_L}{\partial t} (1+G_2) + \frac{\partial z_L}{\partial t} (1+W_2) \right\} \dots \dots \dots \quad (18)$$

$$\begin{aligned} G_1 &= \frac{B_{L0}}{A_L} \left\{ F \left(\frac{3P_L}{N} - \frac{5K_L}{M} \right) \mp \frac{5}{3} \frac{Q^2 \alpha x K_L}{M^3} \right\} \\ &\quad + \frac{1}{A_H} \left\{ B_{H0} + 2m_H (z_L + h_L - H_0) \right\} \left\{ F \left(\frac{3P_H}{N} - \frac{5K_H}{M} \right) \mp \frac{5}{3} \frac{Q^2 \alpha x K_H}{M^3} \right\} \\ &\quad - \frac{2\sqrt{1+m_L^2}}{S_H} \left\{ 2F \left(\frac{P_L}{N} - \frac{K_L}{M} \right) \mp \frac{2}{3} \frac{Q^2 \alpha x K_L}{M^3} \right\} \end{aligned}$$

$$\begin{aligned} W_1 &= \frac{2(1+m_L^2 - m_L)}{S_L} \left\{ 2F \left(\frac{P_L}{N} - \frac{K_L}{M} \right) \mp \frac{2}{3} \frac{Q^2 \alpha x K_L}{M^3} \right\} \\ &\quad + \frac{1}{A_H} \left\{ B_{H0} + 2m_H (z_L + h_L - H_0) \right\} \left\{ F \left(\frac{3P_H}{N} - \frac{5K_H}{M} \right) \mp \frac{5}{3} \frac{Q^2 \alpha x K_H}{M^3} \right\} - \frac{2\sqrt{1+m_L^2}}{S_H} \left\{ 2F \left(\frac{P_L}{N} - \frac{K_L}{M} \right) \mp \frac{2}{3} \frac{Q^2 \alpha x K_L}{M^3} \right\} \end{aligned}$$

$$F = \frac{N}{M^3}, \quad N = P_L + P_H, \quad M = K_L + K_H, \quad K = \frac{AR^{\frac{2}{3}}}{n}, \quad P = \frac{AR^2}{n}$$

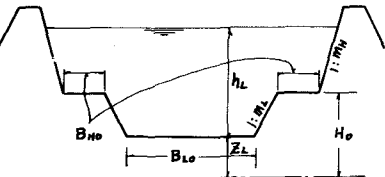


図-3 河川横断図

附号干は一をとったものか G_1, W_1 , +をとったものか G_2, W_2 である。

まとめ

i) 河床変動の簡易計算式(6)式を導いた。

ii) 式(6)を用いて数値計算を行ない、式(6)が実用に供することを認め左。

iii) 橫断面河川の不等流の式(17) および河床変動の式(18)を示し左。